

От геометрии гексаграммы к физике пространственно-энергетических отношений

В предыдущей статье, названной «Единство всех наук через призму современных открытий» [1], было обращено внимание на результат деления площади круга на длину линии его окружности: $\pi R^2 / 2\pi R = R/2$. Заменяв радиус круга R на диаметр D , получим деление диаметра круга на четыре равные части. **И это не зависит от его фактического размера.**

При $D = 1$ (относительная единица измерения пространства) одна часть равна $0,25$, радиус — $0,5$, а сумма трех — $0,75$. Взаимную связь этих числовых результатов на линии диаметра круга с шестью равными частями на линии его окружности с геометрической точностью устанавливает гексаграмма — древнейший символ единства противоположностей:

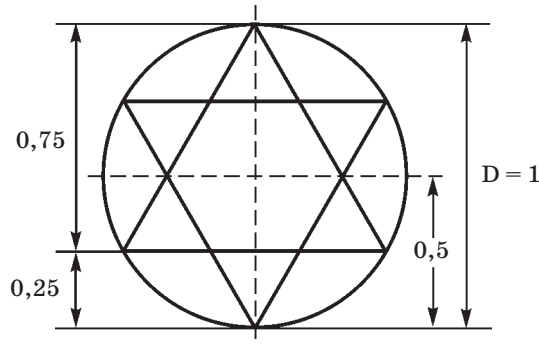
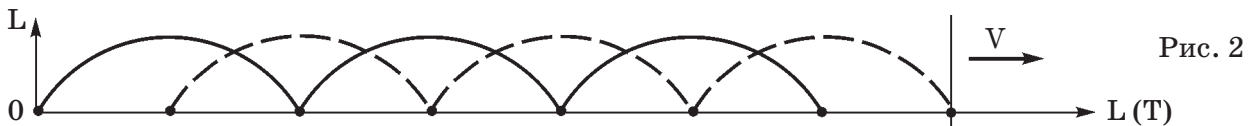


Рис. 1

На первый взгляд геометрия гексаграммы не связана с физикой. В статье «Древние символы и современная наука» [2] поочередное вращение треугольников гексаграммы на 120° вокруг общего центра было сопоставлено с движением человека по земной поверхности:



В физической основе рис. 2 — симметрия в строении тела человека и поочередное движение его ног. Это сопоставление привело к другим числовым результатам: $3/5 = 0,6$, $5/8 = 0,625$ и $3/8 = 0,375$, а вместе с делением единого целого на две равные части ($1/2 = 0,5$) — к началу числовой последовательности Фибоначчи (1, 1, 2, 3, 5, 8, 13, 21...).

Деление диаметра круга на четыре равные части можно получить иначе:

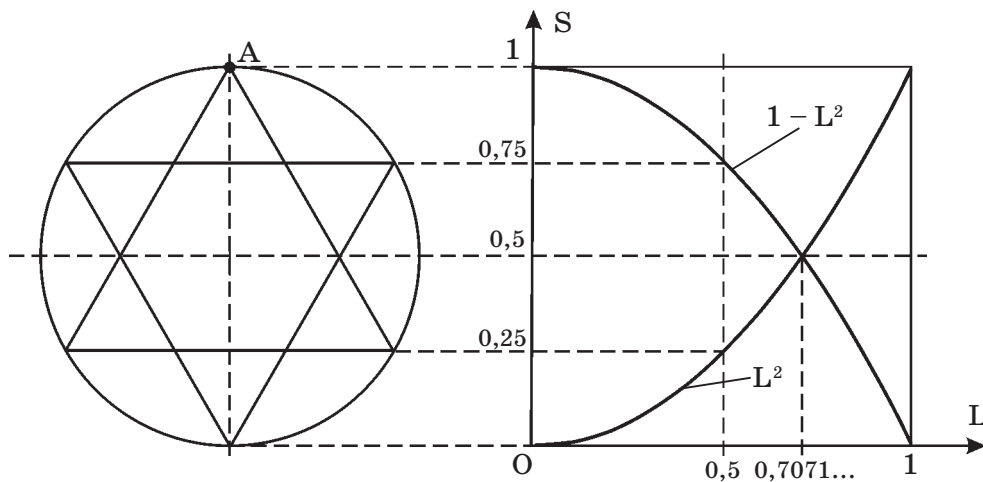


Рис. 3

В пространственном квадрате рис. 3 со стороной, равной 1, изображены прямая (L^2) и зеркальная относительно единицы ($1 - L^2$) квадратичные закономерности. Точки пересечения вертикальной оси симметрии квадрата с этими квадратичными кривыми и его горизонтальной осью симметрии приводят к таким же числам, как и на рис. 1.

Дополним вышепоказанное движением точки по линии окружности круга рис. 3, приняв время одного оборота t . А вокруг его центра равным относительной единице измерения времени ($T = 1$).

При равенстве диаметра круга стороне квадрата круг можно вписать в квадрат таким образом, что их горизонтальные и вертикальные оси симметрии совмещаются с общим центром. В результате этого движение t . А по линии окружности круга можно исследовать в двух системах координат — L от T и L от Π :

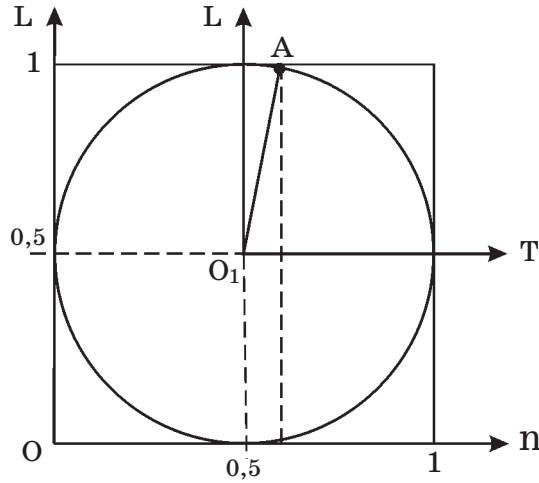


Рис. 4

В системе координат L от T угол наклона радиуса круга O_1A предопределяет величину пространственной скорости движения t . А. При этом все точки, расположенные на этом радиусе круга, имеют одинаковую пространственную скорость.

Этот теоретический случай аналогичен физическому движению электронов во внутренних пространствах атомов с одинаковой скоростью. При этом они находятся на различных расстояниях от его центра.

Поместив круг в параллельной плоскости, вращение t . А вокруг его центра за время T , равное 1, можно получить в результате поворота системы координат L от T на 360° вокруг t . O_1 . В этом случае все точки, расположенные на линии радиуса круга O_1A , вращаются с одинаковой угловой (радиальной) скоростью, равной скорости вращения системы координат L от T .

Проекция этих движений на находящуюся в состоянии покоя систему координат L от Π приводит к замене пространственных квадратичных закономерностей рис. 3 на пространственно-временные — Π^2 и $1 - \Pi^2$:

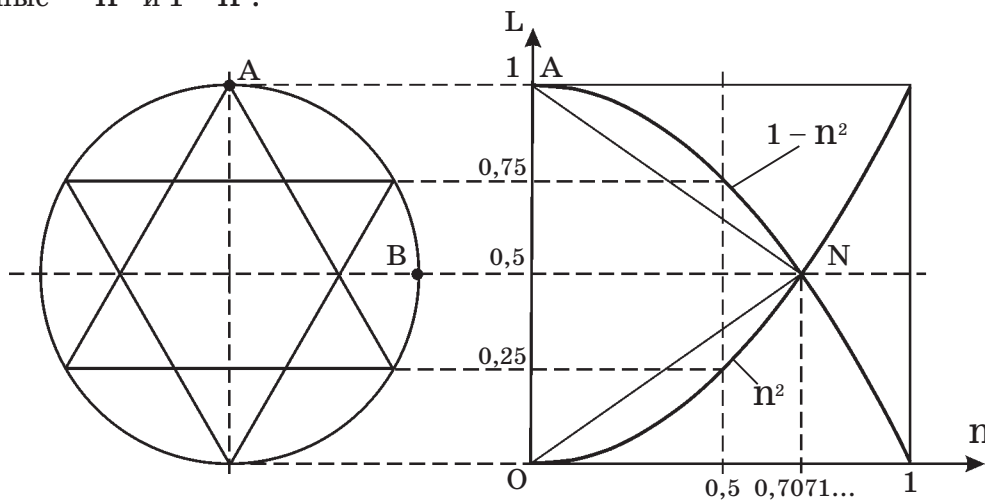


Рис. 5

На рис. 5 числовые результаты, образующиеся во внутреннем пространстве гексаграммы, посредством этих квадратичных закономерностей согласуются с пространственно-временными отношениями. А так как в основе физики движения — энергия, то их называют пространственно-энергетическими.

Вершины равносторонних треугольников гексаграммы делят линию окружности круга на шесть равных частей. Исходя из времени одного оборота t . А вокруг t . O_1 рис. 4 ($T = 1$), поделим основание квадрата рис. 5 на шесть равных частей:

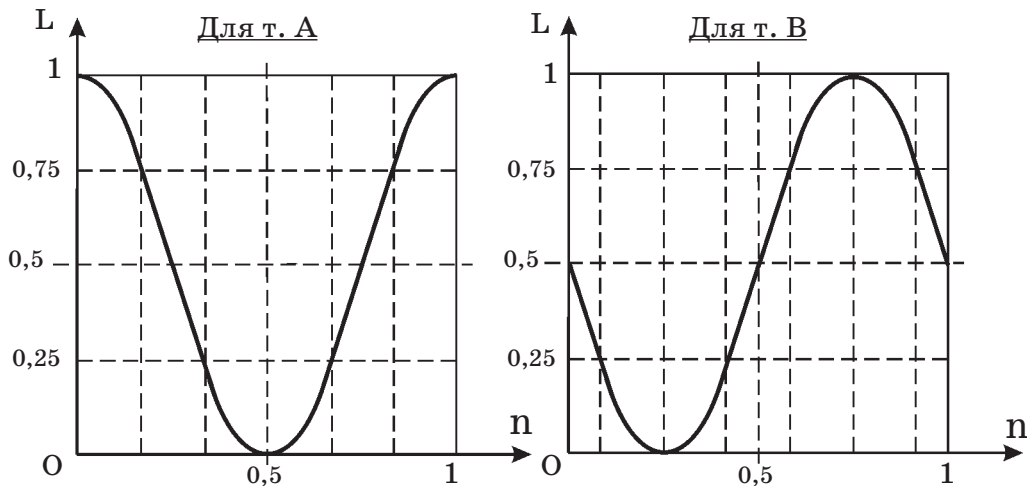


Рис. 6

В результате этого оказывается, что деление диаметра круга гексаграммы на четыре равные части связано с временем движения t . А по шести равным частям линии его окружности геометрией синусоиды.

Таким образом, геометрическое единство противоположностей гексаграммы преобразуется в геометрию синусоидального колебания с его положительной (+) и отрицательной (-) половинами волн относительно горизонтальной оси симметрии квадрата пространственно-временных отношений со стороной, равной 1.

Для t . В рис. 5 такой же геометрический результат можно получить в поперечной двумерной плоскости, совмещенной с горизонтальной осью симметрии квадрата и круга. Расхождение t . А с t . В на линии окружности круга соответствует 1/4 части ее оборота вокруг его центра, а на рис. 6 — 1/4 части проекции синусоиды на ось $O\Pi$ системы координат L от Π .

Деление основания квадрата на шесть равных частей образует соотношения 1/3 и 2/3 в одной его половине, как и в случае такого же деления высоты треугольников гексаграммы горизонтальной осью симметрии круга.

Среднее эффективное значение выпрямленного синусоидального колебания, равное $0,7071\dots$, возвращает к точке пересечения прямой и зеркальной квадратичных закономерностей на рис. 5, а один период ее колебания — к относительной единице измерения времени ($T = 1$):

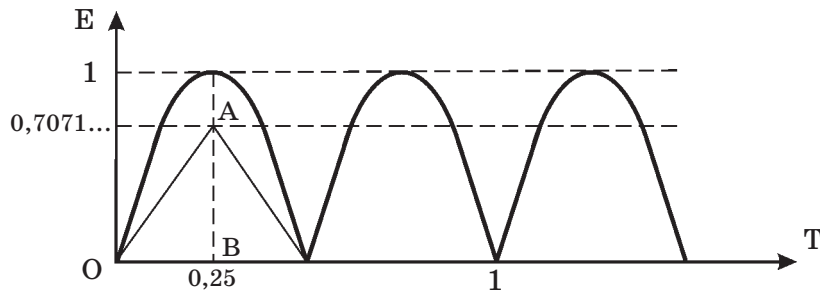


Рис. 7

На рис. 5 точка пересечения этих квадратичных закономерностей (t . N) образует вершину равнобедренного треугольника с основанием, равным 1, и двумя одинаковыми сторонами, равными $0,8660\dots (\sqrt{0,75})$.

Вместе с этим следует обратить внимание на геометрию равнобедренного треугольника во внутреннем пространстве выпрямленных синусоидальных колебаний. Гипотенуза прямоугольного треугольника OAB рис. 7 равна $0,75$ — высота треугольника гексаграммы рис. 5.

С одной стороны, две синусоиды рис. 6, расположенные во взаимно перпендикулярных пространственных плоскостях и смещенные на 1/4 периода их колебания, приводят к тригонометрии синусоидальных колебаний E - и H -составляющих электромагнитных волн:

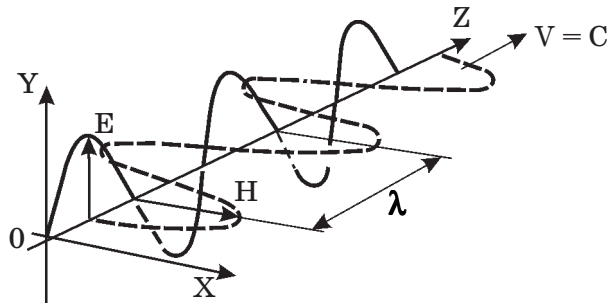


Рис. 8

С другой стороны — возвращают к движению по двум линиям окружности круга. Их трехмерное совмещение можно получить путем сечения сферы двумя взаимно перпендикулярными плоскостями, проходящими через ее центр:

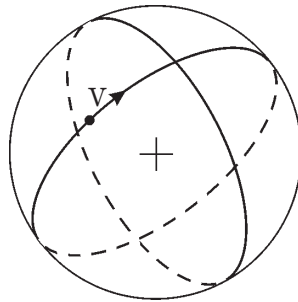


Рис. 9

Если замкнуть вдоль двух линий окружностей круга рис. 9 две синусоиды рис. 6, то вместе с рис. 8 получим поверхность энергетической сферы, в основе физического образования которой — E- и H-составляющие материи в электромагнитном состоянии.

В статье «Релятивизм — фатальная ошибка современной науки» [3], в пояснении к рис. 25, вычислен объем такой сферы. При ее диаметре, равном 1, он равен $1/6 E \cdot H$, что образует два варианта — $1/6 E$ при $H = 1$ и $1/6 H$ при $E = 1$. А на рис. 6 имеем два варианта деления на шесть равных частей оснований квадратов пространственно-временных отношений, расположенных во взаимно перпендикулярных пространственных плоскостях.

Так как вышепоказанное не противоречит корпускулярно-волновой природе электронов, то логично перейти к их движению, положив данное теоретическое исследование в основу пространственно-энергетических отношений, возникающих во внутренних пространствах атомов.

В предыдущих статьях было обращено внимание на электронную числовую последовательность (1, 2, 8, 18, 32), в соответствии с которой электроны располагаются в электронных оболочках атомов на определенных пространственно-энергетических уровнях. Это исследование привело в другую область числовой последовательности Фибоначчи — ... 55, 89, 144, ...

Исходя из одинаковой математической «архитектуры» силы взаимодействия электрических зарядов Кулона и магнитных полей Максвелла ($1/L^2$), вернемся к квадратичной основе геометрии гексаграммы, изображенной на рис. 3 и рис. 5.

Из рис. 5 следует, что $1/4$ часть диаметра круга гексаграммы, равная 0,25, связана с $1/6$ частью линии его окружности квадратичной закономерностью пространственно-временных отношений, в основе которых — пространственно-энергетические.

Возведение 0,25 в квадрат образует 0,0625. Соотношение: $1/0,0625 = 16$.

Высота треугольника гексаграммы равна 0,75. Возведение в квадрат: $(0,75)^2 = 0,5625$ — сумма 0,5 и 0,0625. Таким образом получаем первый коэффициент пропорциональности во внутреннем пространстве круга, а вместе с ним — числовой результат: $16 \cdot 0,5625 = 9$.

Горизонтальная ось симметрии круга делит высоту треугольника гексаграммы на две неравные части: $0,5/0,75 = 2/3 = 0,666...$ В свою очередь: $(0,666...) ^2 = 0,444...$ — второй коэффициент пропорциональности и третий числовой результат: $9 \cdot 0,444... = 4$.

Радиус круга равен 0,5. Он предопределяет третий коэффициент пропорциональности: $(0,5)^2 = 0,25$, а вместе с ним: $4 \cdot 0,25 = 1$.

Полученные числа (16, 9, 4, 1) относятся только к одной половине гексаграммы. Их удвоение (32, 18, 8, 2) вместе с одним электроном атома водорода приводит к электронной числовой последовательности — **1, 2, 8, 18, 32**, в соответствии с которой электроны располагаются во внутренних пространствах атомов на определенных пространственно-энергетических уровнях.

Кроме этого: $0,5625 - 0,444... = 0,1180555...$ Сумма: $0,5 + 0,1180555... = 0,6180555...$ — результат соотношения чисел последовательности Фибоначчи (89/144).

$0,444... - 0,0625 = 0,3819444...$ — результат соотношения других ее чисел (55/144). Вместе с 89/144 образуется пропорция «золотой» рациональности ($0,6180555... + 0,3819444... = 1$).

Деление основания квадрата рис. 5 на шесть равных частей: $1/6 = 0,1666...$ Половина этого числа равна $0,08333...$ Возведение в квадрат: $(0,08333...) ^2 = 0,0069444... = 1/144$.

В 1990 году прикладное исследование J. Perez в области генетики привело его в эту же область числовой последовательности Фибоначчи — ... 55, 89, 144, ... Открытие ДНК-резонанса является конкретным подтверждением того, что все происходящее в макромире и, что особенно интересно — образование живой материи, берет свое начало в энергетических процессах, происходящих во внутренних пространствах атомов.

Результаты соотношений числовых значений электронной числовой последовательности: $2/8 = 0,25$ и $8/18 = 0,444...$ Их сумма: $0,444... + 0,25 = 0,69444... = (0,8333...) ^2$.

В связи с этим нельзя оставить без внимания рисунок «витрувианского человека» Леонардо да Винчи, в котором соотношение стороны квадрата к диаметру круга с достаточной геометрической точностью приводит к $5/6 = 0,8333...$

Такой же числовой результат был получен автором статьи при исследовании движения постоянного ферромагнита в двухмерной плоскости круга под действием ферромагнитного диполя определенной конструкции [15]. Одновременно исследование пространственного расположения атомов углерода в графене, изложенное в статье «Графен с точки зрения «золотого» равенства противоположно действующих сил» [4], привело к тригонометрии гексаграммы.

Изначально физика удержания электронов в электронных оболочках атомов связана с кулоновской силой притяжения противоположных электрических зарядов. В связи с этим электрону был присвоен отрицательный заряд, равный -1 , а протону — положительный ($+1$).

Для обоснования нейтральности нейтронов была выдвинута гипотеза существования дробных электрических зарядов ($+2/3$ и $-1/3$). Одна комбинация из трех создает $+1$, а другая 0 . Однако все попытки экспериментального доказательства их физического существования оказались безуспешными.

Размер атомных ядер в $10-100$ тыс. раз меньше внешнего размера их электронных оболочек. При таком значительном различии в расстояниях сила отталкивания одноименно заряженных протонов внутри атомных ядер должна быть многократно больше притяжения электронов. Ее компенсация была обоснована существованием внутриядерных сил сжатия, которые превосходят кулоновские силы отталкивания. Так одна гипотеза привела к рождению другой. Единственно, что привлекает внимание — это числовые соотношения $1/3$ и $2/3$, так как они проявились и в данном теоретическом исследовании.

Если к электромагнитному состоянию электрона применить трехмерность рис. 8 и направить вектор E по касательной к одной линии окружности круга рис. 9, то вращение вектора H образует круг в поперечной плоскости. С физической наглядностью это демонстрирует движение электронов по проводнику под действием электрического поля энергии, когда направление силовых линий магнитного поля, возникающего в поперечной плоскости, определяется с помощью вращения буравчика.

Для данного теоретического исследования большой интерес представляют замкнутые токи электронов во внутренних пространствах ферромагнитов, так как они создают в окружающем их пространстве трехмерное магнитное поле энергии с противоположными энергетическими полюсами N и S .

Вместе с результатом физического опыта с ферромагнитами, который привел к соотношению $5/6$, равному $0,8333\dots$, данное теоретическое исследование приводит к электромагнитному взаимодействию электронов во внутренних пространствах атомов.

Исходя из него — замкнутые силовые линии магнитного поля энергии, создаваемого электронами при движении вокруг атомных ядер со скоростью света, не только формируют трехмерную сферу электронной оболочки атомов в целом, но и определяют образование в ее внутренней области рациональных пространственно-энергетических отношений.

После того, как было установлено, что скорость света не зависит от скорости движения его источника, а произошло это в 1887 году в результате физических опытов А. Майкельсона и Э. Морли, в теоретической физике возник фундаментальный вопрос: «Какую систему координат считать основополагающей — состояния покоя или движения со скоростью света?».

В связи с этим представляет интерес геометрия прямого радикала, который получается в результате извлечения корня квадратного из зеркальной относительно единицы $(1 - \beta^2)$ квадратичной закономерности $(\sqrt{1 - \beta^2})$:

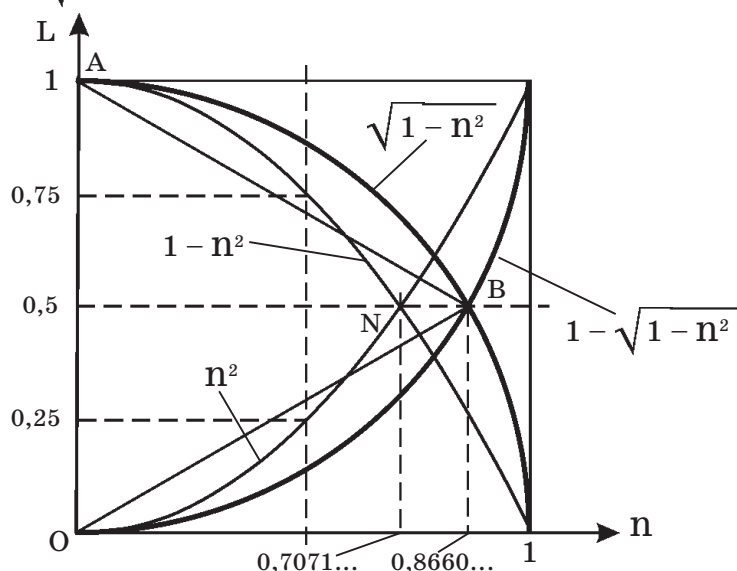


Рис. 10

В пространственно-временном квадрате рис. 10 прямой радикал образует линию четверти окружности круга радиусом, равным 1, с началом в т. 0 системы координат L от beta. Проекция точки ее пересечения с горизонтальной осью симметрии квадрата приводит к числу $0,8660\dots$ ($\sqrt{0,75}$) на оси ОН этой системы координат. Одновременно — это высота равностороннего треугольника OAB со стороной, равной 1, и длина двух одинаковых сторон равнобедренного треугольника OAN на рис. 5.

Сравним этот прямой радикал с прямым радикалом А. Пуанкаре: $L = L_0 \sqrt{1 - (V/C)^2}$. Исходя из него современные физики обосновывают сжатие пространства при движении со скоростью света. При $V = 0$, $L = L_0$ в системе координат состояния покоя, а при $V = C$, $L = 0$. В качестве наглядного примера такого невероятного сжатия в школьных учебниках по физике сравнивается размер земного шара с размером спичечной коробки.

В прямом радикале $\sqrt{1 - \beta^2}$ числовые значения β изменяются от 0 до 1, так как в их основе — относительная единица измерения равнопропорционального пространства ($L = 1$) и относительная единица равномерного течения времени ($T = 1$).

В прямом радикале Пуанкаре результаты числовых соотношений V/C , возведенные в квадрат, также изменяются от 0 до 1. Однако в их основе — равнопропорциональное увеличение скорости движения V , соотносимое с постоянной скоростью движения света в вакууме (C).

В таком виде он происходит из обратного $(1/\sqrt{1 - (V/C)^2})$, с помощью которого Пуанкаре геометрически аппроксимировал экспериментальную кривую Х. Лоренца. В ходе физических опытов Лоренц установил, что энергетические затраты для увеличения скорости движения электронов возрастают с квадратичной закономерностью по мере приближения к скорости

света. Причину происходящего объяснили увеличением инертности электронов. Так появилась формула: $m = m_0 / \sqrt{1 - (V/C)^2}$. Исходя из нее: при $V = 0$, $m = m_0$ в системе координат состояния покоя, а при $V = C$, $m = m_0/0$. Как следствие — в системе координат движения со скоростью света инертность, выражаемая количеством массы M , возрастает до огромных числовых значений.

Вместе с $L = 0$ при $V = C$ это привело физиков к гипотезе образования «черных дыр». Не поверив в их физическое существование, Эйнштейн сформулировал теорию иных пространственно-временных отношений, возникающих при движении со скоростью света. Происходящее во внутренних пространствах атомов начали рассматривать с помощью специальной (СТО), а во внешних — с помощью общей (ОТО) теорий относительности. В результате этого физические формулы Ньютона, которые безупречно согласуются с принципом относительности, были отнесены к частному случаю, который не распространяется на все природные явления. Так в теоретической физике восторжествовала философия релятивизма, согласно которой нет истины, одинаковой для всех.

Однако следует обратить внимание, что $(V/C)^2$ как в математике прямого радикала Пуанкаре, так и обратного, образуется из соотношения энергетических формул Ньютона: $W = mV^2$ и Эйнштейна: $E = mC^2$. Но образуется только в том случае, если инертность (m) в системе координат состояния покоя такая же, как и в системе координат движения со скоростью света.

Попытка выйти из физико-математической неопределенности с помощью настолько же гипотетической теории П. Хиггса не привела к ожидаемому результату. После того, как в ходе физических опытов на большом адронном коллайдере (ЛHC) был установлен распад бозонов Хиггса, перечеркнувший теорию «большого взрыва», среди современных теоретиков Мироздания начали раздаваться голоса о необходимости создания новой физики.

Но, как показывает теоретическое исследование автора статьи в целом, — причина возникших в теоретической физике заблуждений кроется в изначальном непонимании дуализма систем координат состояния покоя и движения в пространстве со скоростью света, что привело к «разрушению» основополагающего физического принципа — принципа относительности.

Рис. 4 с геометрической наглядностью демонстрирует, что есть пространственная скорость движения в системе координат L от T , изменяющаяся от $V = 0$ до $V = C$, и угловая скорость вращения этой системы координат относительно системы координат состояния покоя.

В связи с этим обратим внимание на одинаковую физику движения элементарных частиц во внутренних пространствах атомов и материальных тел макромира — на их вращение вокруг определенного центра, который в каждом конкретном случае предопределяет расположение t 0 системы координат относительного покоя L от Π . В случае атомов ее необходимо совместить с их центром, в случае звездно-планетарных систем — с центром звезды, а в случае галактик — с их центром.

Непонимание этого привело к гипотезе существования «темной материи» в окружающих галактики пространствах. В 2016 году в журнале *Physical Review Letters* американские астрофизики С. Макго, Ф. Лелли и Д.М. Шомберт опубликовали результаты своих многолетних наблюдений. Исследуя движение звезд в инфракрасном диапазоне излучения, они обнаружили, что их радиальное (угловое) ускорение хорошо согласуется с гравитационным, ожидаемым только от видимой массы. Они утверждают, что выявленные ими пространственно-временные отношения равносильны новому естественному закону. И это логично, если принять во внимание, что на протяжении всей истории физики противоречивые закономерности в данных, как правило, указывали путь к новым открытиям.

Результат их прикладного исследования был теоретически обоснован в статье «От открытия американских астрофизиков к Единой Закономерности физики движения» [5]. Происходящее в спиралевидных галактиках также исследовалось в двух системах координат. Одна находится в состоянии покоя в плоскости листа бумаги, а вторая вращается с определенной угловой скоростью вокруг их общего центра.

В процессе этого исследования оказалось, что в основе спиралевидности газопылевых рукавов таких галактик — геометрия спирали Фибоначчи. А область перехода от звездной сферы, расположенной в их центре, к спиралевидному диску, названная астрономами «бар», предопределена пространственным перепадом, выявленным при сопоставлении геометрии прямого и обратного радикалов. Первоначально на него было обращено внимание в статье «От основ общей и специальной теорий относительности к физической первопричине происходящего в галактиках» [7]. Кроме этого, была обнаружена связь прямого и обратного радикалов с числом π и «золотой» пропорцией. За это открытие редакцией журнала *De Lapide Philosophorum* автор статьи был награжден памятной медалью Леонардо Фибоначчи.

Открытие графена перечеркнуло приближение Борна-Аппенгеймера, на котором строится зонная теория твердых тел. Открытие американских астрофизиков перечеркнуло гипотезу существования «темной материи» и «темной энергии». Распад бозонов Хиггса перечеркнул гипотезу «большого взрыва». А что осталось? «Черная дыра»? Теоретическое исследование автора статьи опровергает возможность ее физического образования.

И это понятно со всех точек зрения. Если допустить, что при увеличении скорости движения инертность (m) возрастает, то материальные тела с различной массой должны падать на земную поверхность с одинаковой высоты за разное время. Но в физической реальности такого не происходит.

В настоящее время на большом адронном коллайдере (ЛHC) производится модернизация, после которой физики планируют сталкивать между собой ядра атомов свинца. Одновременно в подмосковной Дубне производится модернизация линейного ускорителя элементарных частиц, на котором физики планируют сталкивать ядра атомов золота. В результате этих физических экспериментов они хотят привести ядра атомов в кварк-глюонную консистенцию. Однако заявляют, что объяснить обратный процесс образования протонов и нейтронов они не смогут. Чем это закончится? Введением новых физических понятий, которые, наслаиваясь друг на друга, так захлестили теоретическую физику, что за ними «света божьего» не видно.

В связи с этим представляет интерес результат математического «дробления» масс протонов и нейтронов в статье «Золотое» сечение. Физика первопричины» [8].

Приняв атомарную массу электрона за единицу (1 а.е.м.), в свое время физики установили, что масса протона в 1836,1 раза больше массы электрона, а масса нейтрона — в 1837,7 раза. Разница равна 1,6 а.е.м. Время жизни свободного нейтрона — 15 минут. После чего он распадается на протон, электрон и нейтрино. Из этого следует, что на нейтрино приходится 0,6 а.е.м.

На первый взгляд, числовые значения масс протона и нейтрона абсолютно не поддаются какому-либо математическому анализу. Однако применение к ним определенных математических действий дают более чем интересные числовые результаты. Сначала поделим их числовые значения на 6: $1836,1/6 = 306,01666\dots$, $1837,7/6 = 306,28333\dots$

Результаты деления приводят к одинаковому целому числу (306) и к различным числам в десятичной дробной части. В первом — 0,01666..., что в 10 раз меньше $1/6 = 0,1666\dots$ Во втором — сумма 0,2 с 0,08333... В свою очередь, 0,08333... в 10 раз меньше $5/6 = 0,8333\dots$

Если 306 сначала поделить на 2 (линейная симметрия и кратность 2-м), а затем четыре раза на 6, так что число делителя станет равно $2592 = 2 \cdot 6^4$, то в конечном итоге получаем число, равное 0,1180555... Такое же, как и при исследовании электронной числовой последовательности ($0,5625 - 0,444\dots = 0,1180555\dots$).

Числовые значения в дробной части 306,01666... и 306,28333... можно сравнить путем их соотношения: $0,28333\dots/0,01666\dots = 17$. Одно больше другого ровно в 17 раз. Результат соотношения: $1/17 = 0,05882352941\dots$, на первый взгляд, также не поддается какому-либо математическому анализу, так как 17 не кратно ни 2-м, ни 3-м. В линейной десятизначной системе счета соседними числами для 17 являются 16 и 18. Одно из них кратно 2-м, другое кратно и 2-м, и 3-м. Результаты соотношений: $1/16 = 0,0625$, а $1/18 = 0,05555\dots$

В свою очередь, их сумма: $0,0625 + 0,05555\dots = 0,1180555\dots$

Из произведенного автором статьи теоретического исследования необходимо выделить главное — числовая последовательность Фибоначчи, устанавливающая «золотую» пропорциональность линейной и квадратичной закономерностей изменения числовых значений, — математическая основа всех пространственно-энергетических отношений — как во внутренних пространствах атомов, так и в макромире.

В связи с этим необходимо еще раз отдать должное гениальной прозорливости Леонардо да Винчи и вспомнить его слова: *«Пропорции обретаются не только в числах и мерах, не только в звуках, тяжестях, временах и положениях, но и в любой силе, какая бы она ни была». «Природа полна бесчисленных причин, которые никогда не были в опыте. Познай причину и тебе не нужен опыт».*

Список ранее опубликованных статей:

1. «Единство всех наук через призму современных открытий», сайт «Академия Тринитаризма», М. Эл. № 77-6567, публ. 26599, 11.08.2020 г.
2. «Древние символы и современная наука», журнал *De Lapide Philosophorum* № III (015), март 2018 г.
3. «Релятивизм — фатальная ошибка современной науки», сайт «Академия Тринитаризма», М. Эл. № 77-6567, публ. 24614, 04.07.2018 г.
4. «Графен с точки зрения «золотого» равенства противоположно действующих сил», журнал *De Lapide Philosophorum* № III (011), март 2017 г.
5. «От открытия американских астрофизиков к Единой Закономерности физики движения», сайт «Академия Тринитаризма», М. Эл. № 77-6567, публ. 26224, 20.03.2020 г.
6. «From Discovery by American Astrophysicists to the Unified Law of Physical Dynamics», сайт «Академия Тринитаризма», М. Эл. № 77-6567, публ. 26269, 02.04.2020 г.
7. «От основ общей и специальной теорий относительности к физической первопричине происходящего в галактиках», журнал *De Lapide Philosophorum* № II (010), декабрь 2016 г.
8. «Золотое» сечение. Физика первопричины», журнал *De Lapide Philosophorum* № II (014), декабрь 2017 г.
9. «Золотая» середина Единой Закономерности борьбы противоположностей», журнал *De Lapide Philosophorum* № III (011), март 2017 г.
10. «Золотое» триединство — основа Мироздания», сайт «Академия Тринитаризма», М. Эл. № 77-6567, публ. 24007, 30.11.2017 г.
11. «Первопричина происхождения жизни», сайт «Академия Тринитаризма», М. Эл. № 77-6567, публ. 25492, 09.06.2019 г.
12. «Леонардо да Винчи и проблемы современной науки», сайт «Академия Тринитаризма», М. Эл. № 77-6567, публ. 25186, 14.02.2019 г.
13. «Завещание Леонардо да Винчи», журнал *De Lapide Philosophorum* № II (014), декабрь 2017 г.
14. «По воле небес и пришедшего срока», журнал *De Lapide Philosophorum* № III (015), март 2018 г.
15. «От послания Леонардо да Винчи к потомкам к тайнам физики движения», сборник научных статей, из-во ООО «Сервис», г. Рязань, 2014 г., ISBN 978-5-89403-078-4.